

УДК 544.623:546.831.4::546.63/.64

ИОННАЯ И ЭЛЕКТРОННАЯ ПРОВОДИМОСТЬ ОКСИДА ЦИРКОНИЯ, СТАБИЛИЗИРОВАННОГО ОКСИДАМИ ИТТРИЯ И СКАНДИЯ

© 2014 г. А. Г. Белоус*, О. И. Вьюнов*, Veyis Gunes**, Odile Bohnke**

*Институт общей и неогранической химии им. В.И. Вернадского Национальной академии наук Украины, Киев

e-mail: vuinov@ionc.kiev.ua

**Institut des Molécules et des Matériaux du Mans, Le Mans, France;
Université du Maine, Le Mans, France

Поступила в редакцию 07.02.2014 г.

Проведено изучение и сравнительный анализ ионной и общей проводимости оксида циркония, стабилизированного сложными оксидами иттрия, скандия в области средних температур (850–1000 К). Установлено, что оксид циркония, стабилизированный комплексными добавками на основе оксидов иттрия и скандия, характеризуется низким значением электронной проводимости в широком интервале активности кислорода. Полученные данные показывают возможность использования синтезированных материалов в качестве мембран в среднетемпературных керамических топливных элементах.

DOI: 10.7868/S0002337X14120021

ВВЕДЕНИЕ

Оксид циркония, стабилизированный в кубической структуре флюорита, например оксидом иттрия, характеризуется наличием проводимости по кислороду. Он представляет значительный научный и практический интерес в связи с возможностью его применения в твердотельных топливных элементах, кислородных датчиках и т.д. [1–3]. Однако оксид циркония, стабилизированный оксидом иттрия, имеет относительно невысокую ионную проводимость, что обуславливает высокие рабочие температуры (≈ 1250 К) топливных элементов на его основе и существенно сдерживает практическое применение таких элементов. Для снижения рабочей температуры топливного элемента необходимо, чтобы твердый электролит характеризовался высокой ионной проводимостью в области средних температур (850–1050 К). Кроме того, материал твердого электролита должен быть стойким как в окислительной, так и в восстановительной среде, быть химически и термически совместимым с другими деталями топливных элементов (катодом, анодом и т.д.) в широком температурном интервале. Следует отметить, что используемый при разработке топливных элементов стабилизированный иттрием оксид циркония деградирует при повышенной температуре во влажной атмосфере [4, 5]. Однако, как показано в работах [6, 7], стабилизация оксида циркония сложной добавкой Y_2O_3 – Fe_2O_3 позволяет значительно улучшить структурную стабильность такой керамики.

Оксид циркония, стабилизированный оксидом скандия, характеризуется более высокой кислородной проводимостью по сравнению с оксидом циркония, легированным оксидом иттрия. Поэтому оксид циркония, стабилизированный оксидом скандия, представляет значительный интерес для применения в среднетемпературных топливных элементах (850–1050 К) [8, 9]. Следует отметить, что в материалах на основе стабилизированного скандием оксида циркония остается ряд невыясненных вопросов. Например, известно, что движущая сила гомогенного распределения катионов в системе ZrO_2 – Sc_2O_3 относительно слабая, что может приводить к катионной неоднородности и распаду фазы кубического диоксида циркония (C - ZrO_2) [10]. Это является одной из причин деградации проводимости [11, 12]. Некоторые исследователи считают, что деградация проводимости в системе ZrO_2 – Sc_2O_3 обусловлена наличием фазового перехода в области температур 873–900 К, который сопровождается возникновением ромбоэдрической фазы β - $Sc_2Zr_7O_{17}$ (R - ZrO_2) [13]. В ряде работ показано, что введение Fe_2O_3 в качестве третьего компонента в систему ZrO_2 – Sc_2O_3 [14] способствует образованию стабильной фазы C - ZrO_2 .

Образованию стабильной фазы C - ZrO_2 способствует также внедрение CeO_2 в качестве третьего компонента в системах ZrO_2 – Y_2O_3 и ZrO_2 – Sc_2O_3 [15]. Следует отметить, что в поликристаллических ионных проводниках общая проводимость определяется сопротивлением объема и границ зерен. Большинство исследований направлены на

повышение проводимости объема зерен. Для поиска путей повышения ионной проводимости поликристаллических систем необходима информация как об общей проводимости, так и о проводимости объема зерен. Топливные элементы работают в широком интервале активности (парциального давления) кислорода, в котором в значительных пределах изменяется электронная проводимость твердых электролитов [16]. Поэтому представляет значительный интерес исследование электронной проводимости твердых электролитов на основе стабилизированного оксида циркония.

В связи с этим целью данной работы было изучение и сравнительный анализ ионной проводимости, включая общую проводимость и проводимость объема зерен, а также электронной проводимости в широком интервале активности кислорода оксида циркония, стабилизированного сложными оксидами на основе иттрия, скандия и железа в области средних температур (850–1000 К).

ЭКСПЕРИМЕНТАЛЬНАЯ ЧАСТЬ

Синтез материалов $(\text{ZrO}_2)_{0.90}(\text{Y}_2\text{O}_3)_{0.07}(\text{Fe}_2\text{O}_3)_{0.03}$, $(\text{ZrO}_2)_{0.90}(\text{Sc}_2\text{O}_3)_{0.07}(\text{Fe}_2\text{O}_3)_{0.03}$, $(\text{ZrO}_2)_{0.80}(\text{Y}_2\text{O}_3)_{0.14}(\text{Ce}_2\text{O}_3)_{0.06}$, $(\text{ZrO}_2)_{0.80}(\text{Sc}_2\text{O}_3)_{0.14}(\text{Ce}_2\text{O}_3)_{0.06}$ проводили методом последовательного двухстадийного осаждения из водных растворов ZrOCl_2 , $\text{Fe}(\text{NO}_3)_3$, $\text{Y}(\text{NO}_3)_3$, $\text{Sc}(\text{NO}_3)_3$ квалификации “х. ч.” раствором аммиака NH_4OH квалификации “ч. д. а.”. На первой стадии осаждали ZrO(OH)_2 или ZrO(OH)_2 вместе с FeOOH . На второй стадии осаждали Y(OH)_3 , или $\text{Y(OH)}_3\text{—Ce(OH)}_4$ и $\text{Sc(OH)}_3\text{—Ce(OH)}_4$. Полученные осадки отмывали бидистиллированной водой до полного удаления анионов Cl^- , NO_3^- . Завершающую промывку делали этанолом и сушили при $T \leq 330$ К.

Образцы исследовали методом количественного рентгенофазового анализа (РФА) на дифрактометре ДРОН-3М (CuK_α -излучение, Ni-фильтр). В качестве внешних стандартов использовали сертифицированные SiO_2 (стандарт 20) и Al_2O_3 (стандарт интенсивности) [17]. Для РФА использовали базу данных JCPDS.

Для исследования кинетики изменения размеров керамических материалов в процессе спекания стабилизированного оксида циркония использовали вертикальный дилатометр SETSYS Evolution (Setaram Instrumentation, Франция).

Микроструктуру керамики исследовали на растровом электронном микроскопе (РЭМ) Jeol JSM 6510 с системой химического анализа EDX JED-2201 JEOL (Япония).

Для определения общей проводимости и объемной проводимости зерен стабилизированного оксида циркония исследования проводили в интервале частот 1 Гц–2 МГц с использованием 1260 Frequency Response Analyzer и 1296 Dielectric Interface (Solartron). Измерения проводили в диапазоне температур 600–1070 К в атмосфере сухого воздуха в двухэлектродной ячейке (DataLine). Анализ данных проводился с помощью программного обеспечения Zview (Solartron).

Величину электронной проводимости образцов определяли с помощью поляризационной методики Хебба–Вагнера [18, 19]. Для блокирования ионов кислорода использовались платиновые микроэлектроды с радиусом контакта 120 ± 20 мкм, предложенные в работе [20]. Микроэлектроды прижимались к образцу. Чтобы полностью блокировать Pt-электрод и избежать электрохимической реакции между O^{2-} образца и O_2 из внешней газовой фазы, наносили высокотемпературный влагостойкий керамический клей RESBOND 908 (Cotronics Corporation) на кончик микроэлектрода, а также на поверхность образца, чтобы полностью изолировать его от внешних воздействий и предотвратить кислородный обмен из газовой фазы. Блокирующий характер Pt-микроэлектрода тщательно проверяли по методике [21]. В качестве обратимого по кислороду электрода, который наносили на противоположную сторону образца, использовали двухфазную смесь $\text{Cu}_2\text{O}/\text{CuO}$. Смесь получали из оксидов марки ОСЧ, которые брали в молярном соотношении 1/2. Вольтамперные характеристики в режиме постоянного тока измеряли в диапазоне температур от 770 до 1020 К в атмосфере сухого N_2 . Приложенные напряжения (U) изменялись в пределах от –880 до +380 мВ ступенчато с шагом 10 мВ. В этом диапазоне потенциалов исследуемые образцы были электрохимически стабильны. Все эксперименты были проведены в направлении от низкой активности кислорода (отрицательный потенциал) до высокой активности кислорода (положительный потенциал). Используемый диапазон потенциалов позволяет исследовать свойства изучаемых оксидов в широком диапазоне активности O_2 (a_{O_2}) – от 10^{-25} до 10^3 .

РЕЗУЛЬТАТЫ И ОБСУЖДЕНИЕ

Исходя из результатов дилатометрических исследований для спекания керамических материалов составов $(\text{ZrO}_2)_{0.90}(\text{Y}_2\text{O}_3)_{0.07}(\text{Fe}_2\text{O}_3)_{0.03}$ и $(\text{ZrO}_2)_{0.90}(\text{Sc}_2\text{O}_3)_{0.07}(\text{Fe}_2\text{O}_3)_{0.03}$ была выбрана температура 1650 К, в то время как для спекания керамических материалов составов $(\text{ZrO}_2)_{0.80}(\text{Y}_2\text{O}_3)_{0.14}(\text{Ce}_2\text{O}_3)_{0.06}$ и $(\text{ZrO}_2)_{0.80}(\text{Sc}_2\text{O}_3)_{0.14}(\text{Ce}_2\text{O}_3)_{0.06}$ – температура 1670 К. Спекание керамики проводили в течение 3 и 30 ч.

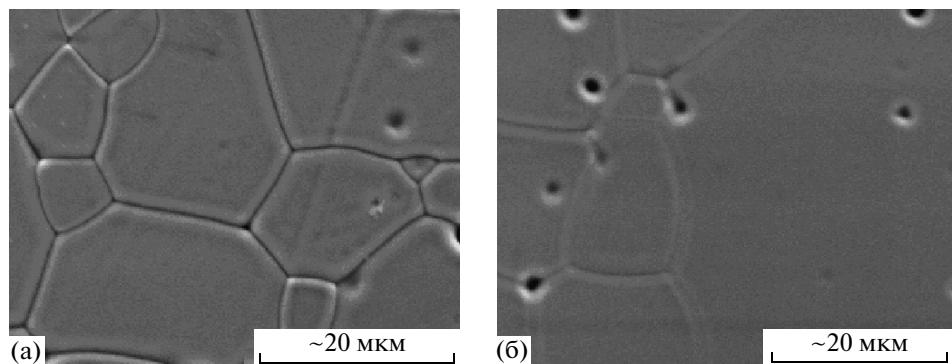


Рис. 1. Микрофотографии керамики $(\text{ZrO}_2)_{0.90}(\text{Sc}_2\text{O}_3)_{0.07}(\text{Fe}_2\text{O}_3)_{0.03}$, спеченной в течение 3 ч (а) и 30 ч (б).

Исследования РЭМ показали, что независимо от времени спекания керамики и ее состава размер зерен был практически одинаковым и достигал 15–20 мкм. Это указывает на то, что рост зерен происходит в первые часы спекания. На рис. 1 приведены результаты РЭМ образцов $(\text{ZrO}_2)_{0.90}(\text{Sc}_2\text{O}_3)_{0.07}(\text{Fe}_2\text{O}_3)_{0.03}$, спеченных в течение 3 и 30 ч, проведен сравнительный анализ их электрофизических свойств.

На рис. 2 показана типичная зависимость импеданса, полученная при 620 К в течение 3 ч. Диаграмма состоит из двух полукругов на высоких и средних частотах и прямой (под углом чуть больше 45°) на низких частотах. Однако с ростом температуры высокочастотный полукруг исчезает из экспериментального диапазона частот (1 Гц–2 МГц), низкочастотная прямая исчезает полностью, когда температура опускается ниже 575 К. Эквивалентная электрическая схема, содержащая индуктивность (L), сопротивления (R) и элементы постоянной фазы (CPE), была использована для расчета параметров всех образцов. Элементы постоянной фазы вместо простой емкости C использовали в модели с целью учета того факта, что центры полукругов не расположены на действительной оси [22]. Это свидетельствуют о распределении постоянных времени релаксации. В эквивалентной схеме использовались два последовательно соединенных (R , CPE) элемента, один из которых связан с объемом зерен [$R(b)$, $CPE(b)$], а другой – с границей зерен [$R(gb)$, $CPE(gb)$]. Индуктивность использовалась для учета вклада соединительных проводов на высоких частотах. Наконец, электродный эффект на низких частотах моделировался элементом постоянной фазы ($CPE(elect)$) и параллельно элементом Варбурга (W_s), который соответствует диффузионному процессу на границе электрод/электролит, протекающему параллельно с зарождением двойного слоя. Процесс диффузии наблюдается при 650 К и выше.

Выбор модели определялся формой импедансной диаграммы и значением χ^2 , которое отражает качество расчета. Приведенная модель позволяет рассчитывать величины общей проводимости и проводимости объема зерен.

На рис. 3 представлена температурная зависимость общей проводимости по ионам кислорода керамики $(\text{ZrO}_2)_{0.90}(\text{Sc}_2\text{O}_3)_{0.07}(\text{Fe}_2\text{O}_3)_{0.03}$, спеченной при 1650 К в течение 3 часов. Как видно из рис. 3, при нагревании и охлаждении наблюдается значительный гистерезис проводимости. Следует отметить, что подобный гистерезис проводимости наблюдался и для других исследованных составов стабилизированного оксида циркония, когда спекание проводили в течение 3 ч. Для выяснения природы наблюдаемого гистерезиса проводимости керамику оксида циркония спекали в течение 30 ч (рис. 4). Как видно, в образцах оксида циркония, спеченного в течение 30 ч, гистерезис проводимости отсутствует. Таким образом, гистерезис проводимости в образцах, спеченных в течение 3 ч (рис. 3), вероятно, связан с незавершенностью процессов спекания (например, химической неоднородностью). Поэтому для дальнейших исследований керамику всех изучаемых составов спекали в течение 30 ч.

На рис. 5 приведена температурная зависимость общей проводимости по ионам кислорода для исследованных систем на основе ZrO_2 , а также сравнительные литературные данные для оксида циркония, стабилизированного оксидами скандия и иттрия [23].

В табл. 1 представлены значения общей проводимости и проводимости объема зерен в интервале температур 770–1070 К. Видно, что синтезированная керамика характеризуется достаточно высокой кислородной проводимостью в области средних температур (850–1000 К). Исходя из данных табл. 1 проводимости объема зерен и границ

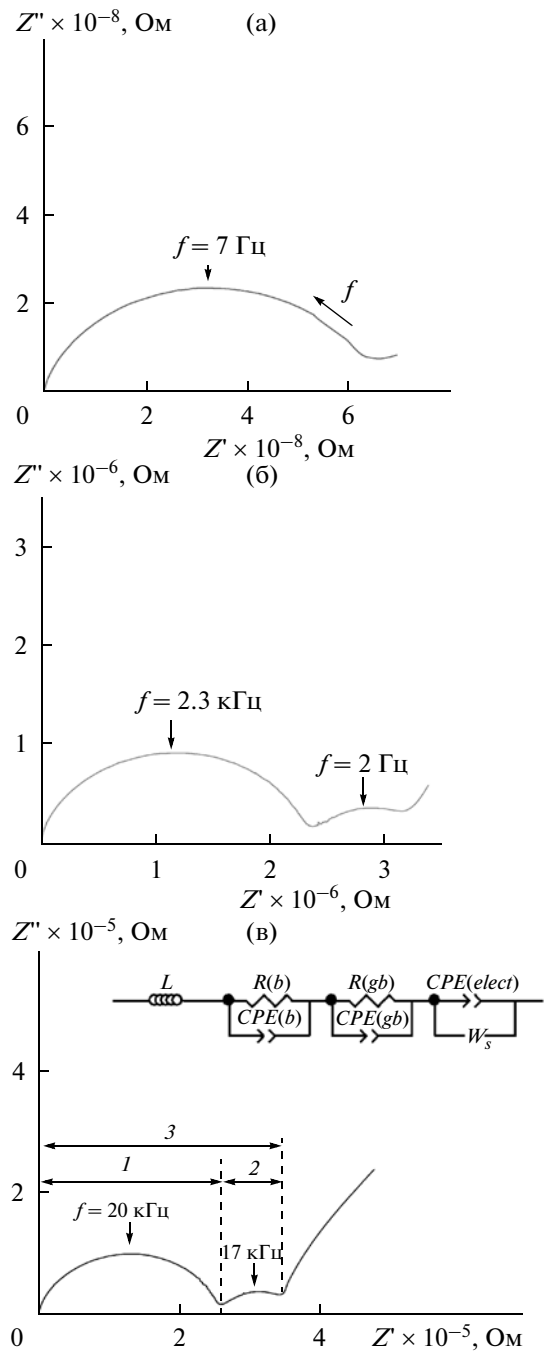


Рис. 2. Зависимости импеданса керамики $(\text{ZrO}_2)_{0.90}(\text{Sc}_2\text{O}_3)_{0.07}(\text{Fe}_2\text{O}_3)_{0.03}$, спеченной при 1650 К в течение 30 ч: 1 – вклад в сопротивление объема зерен, 2 – вклад в сопротивление границ зерен, 3 – общее сопротивление образца; температура измерения 560 К (а) (нет низкочастотной прямой и вклада электродов), 610 К (б) (нет вклада электродов), 710 К (в) (полный спектр).

зерен больше различаются в оксиде циркония, стабилизированного комплексными добавками на основе оксида иттрия по сравнению с образцами, стабилизированными комплексными добавками на основе оксида скандия.

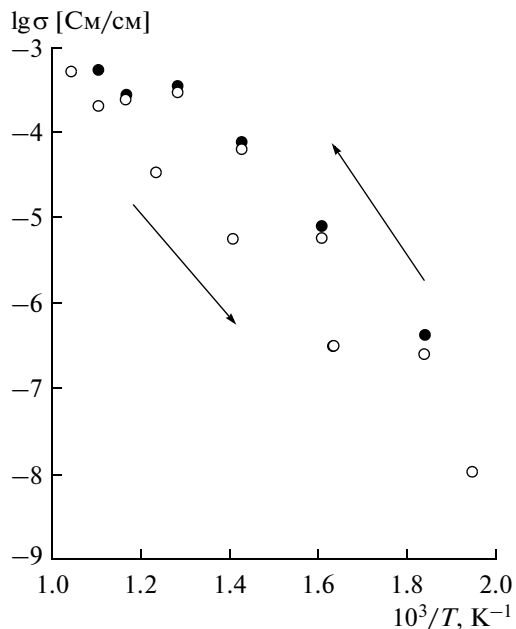


Рис. 3. Температурная зависимость общей проводимости по ионам кислорода керамики $(\text{ZrO}_2)_{0.90}(\text{Sc}_2\text{O}_3)_{0.07}(\text{Fe}_2\text{O}_3)_{0.03}$, спеченной при 1650 К в течение 3 ч.

Присутствие в составе твердого раствора ионов металлов с переменной степенью окисления (в частности, железа) может приводить (особенно при пониженных парциальных давлениях кислорода) к увеличению электронной проводимости образцов, которая для практического применения должна быть низкой [24]. Поэтому для железосодержащих образцов были проведены исследования электронной проводимости в зависимости от активности кислорода (рис. 6). Вклад электронной проводимости в общую проводимость образцов $(\text{ZrO}_2)_{0.90}(\text{Y}_2\text{O}_3)_{0.07}(\text{Fe}_2\text{O}_3)_{0.03}$ и $(\text{ZrO}_2)_{0.90}(\text{Sc}_2\text{O}_3)_{0.07}(\text{Fe}_2\text{O}_3)_{0.03}$ определяли при температурах 900 и 1000 К в широком интервале изменений активности кислорода ($\lg a_{\text{O}_2}$). Электронная проводимость состава $(\text{ZrO}_2)_{0.90}(\text{Y}_2\text{O}_3)_{0.07}(\text{Fe}_2\text{O}_3)_{0.03}$ при 900 К и $\lg a_{\text{O}_2} = -20$ составляет 0.38%, в то время как при $\lg a_{\text{O}_2} = 2.5$ достигает 3.85% от общей проводимости. С повышением температуры до 1000 К и активности кислорода $\lg a_{\text{O}_2} = -20$ и 2.5 электронная проводимость составляет 4% от общей проводимости. В скандийсодержащих материалах $((\text{ZrO}_2)_{0.90}(\text{Sc}_2\text{O}_3)_{0.07}(\text{Fe}_2\text{O}_3)_{0.03})$ вклад электронной проводимости в общую проводимость заметно ниже. При температурах 900 и 1000 К и изменении $\lg a_{\text{O}_2}$ от -20 до 2.5 электронная проводимость составляет 0.2% от общей проводимости.

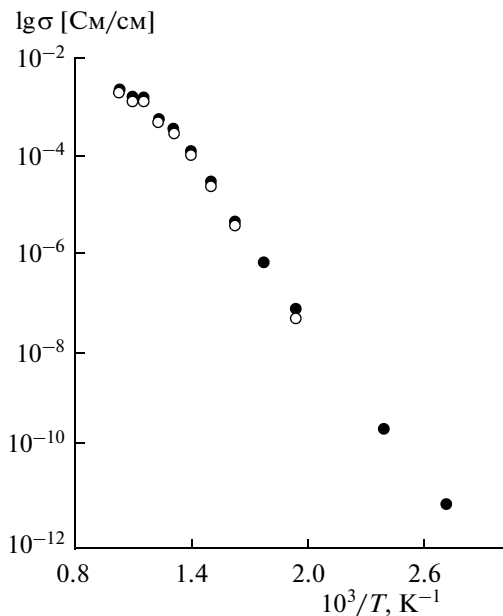


Рис. 4. Температурная зависимость общей проводимости по ионам кислорода керамики $(\text{ZrO}_2)_{0.90}(\text{Sc}_2\text{O}_3)_{0.07}(\text{Fe}_2\text{O}_3)_{0.03}$, спеченной при 1650 К в течение 30 ч.

Следует отметить, что оксид циркония, стабилизированный комплексными добавками на основе оксидов иттрия и скандия, характеризуется низким значением электронной проводимости в широком интервале активности кислорода при высоких температурах (рис. 6). Согласно данным

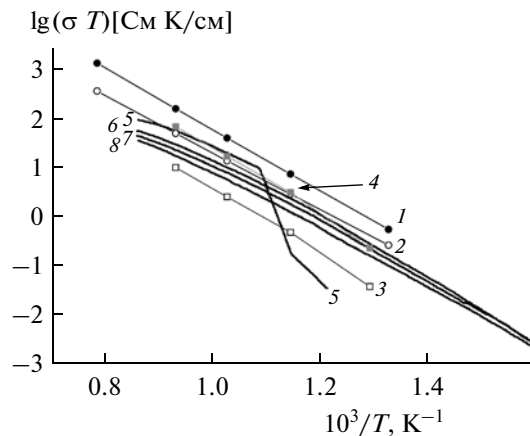


Рис. 5. Температурные зависимости общей проводимости по ионам кислорода для керамики $(\text{ZrO}_2)_{0.80}(\text{Sc}_2\text{O}_3)_{0.14}(\text{Ce}_2\text{O}_3)_{0.06}$ (1), $(\text{ZrO}_2)_{0.80}(\text{Y}_2\text{O}_3)_{0.14}(\text{Ce}_2\text{O}_3)_{0.06}$ (2), $(\text{ZrO}_2)_{0.80}(\text{Sc}_2\text{O}_3)_{0.14}(\text{Fe}_2\text{O}_3)_{0.06}$ (3), $(\text{ZrO}_2)_{0.80}(\text{Y}_2\text{O}_3)_{0.14}(\text{Fe}_2\text{O}_3)_{0.06}$ (4) по сравнению с литературными данными [23] для керамики $(\text{ZrO}_2)_{0.80}(\text{Sc}_2\text{O}_3)_{0.2}$ (5), $(\text{ZrO}_2)_{0.80}(\text{Sc}_2\text{O}_3)_{0.16}(\text{Ce}_2\text{O}_3)_{0.04}$ (6), $(\text{ZrO}_2)_{0.80}(\text{Sc}_2\text{O}_3)_{0.12}(\text{Y}_2\text{O}_3)_{0.08}$ (7), $(\text{ZrO}_2)_{0.80}(\text{Sc}_2\text{O}_3)_{0.08}(\text{Y}_2\text{O}_3)_{0.12}$ (8).

[21], увеличение электронной проводимости при низких активностях кислорода связано с появлением *n*-типа проводимости в результате окисления кислородом ионов железа до Fe^{3+} вблизи Pt-микронтакта. При высокой активности кислорода увеличение проводимости связано с появлением

Таблица 1. Значения энергии активации, общей проводимости и проводимости объема зерен керамики на основе стабилизированного диоксида циркония

Химический состав	Энергия активации, эВ	σ , См/см							
		общая				объема зерен			
		770 К	870 К	970 К	1070 К	770 К	870 К	970 К	1070 К
$(\text{ZrO}_2)_{0.9}(\text{Y}_2\text{O}_3)_{0.1}$	1.17	2.6×10^{-4}	3.1×10^{-3}	1.5×10^{-2}	5.6×10^{-2}	4.3×10^{-4}	5.1×10^{-3}	2.5×10^{-2}	9.3×10^{-2}
$(\text{ZrO}_2)_{0.90}(\text{Y}_2\text{O}_3)_{0.07}(\text{Fe}_2\text{O}_3)_{0.03}$	1.15	4.6×10^{-5}	5.2×10^{-4}	2.5×10^{-3}	9.0×10^{-3}	5.6×10^{-5}	6.4×10^{-4}	3.0×10^{-3}	1.1×10^{-2}
$(\text{ZrO}_2)_{0.80}(\text{Y}_2\text{O}_3)_{0.14}(\text{Ce}_2\text{O}_3)_{0.06}$	1.07	3.3×10^{-4}	3.2×10^{-3}	1.3×10^{-2}	4.5×10^{-2}	4.2×10^{-4}	4.1×10^{-3}	1.7×10^{-2}	5.8×10^{-2}
$(\text{ZrO}_2)_{0.90}(\text{Sc}_2\text{O}_3)_{0.07}(\text{Fe}_2\text{O}_3)_{0.03}$	1.18	2.8×10^{-4}	3.4×10^{-3}	1.7×10^{-2}	6.2×10^{-2}	3.2×10^{-4}	3.9×10^{-3}	2×10^{-2}	7.1×10^{-2}
$(\text{ZrO}_2)_{0.80}(\text{Sc}_2\text{O}_3)_{0.14}(\text{Ce}_2\text{O}_3)_{0.06}$	1.16	7.0×10^{-4}	8.2×10^{-3}	4.0×10^{-2}	1.4×10^{-1}	9.0×10^{-4}	1.1×10^{-2}	5.1×10^{-2}	1.9×10^{-1}

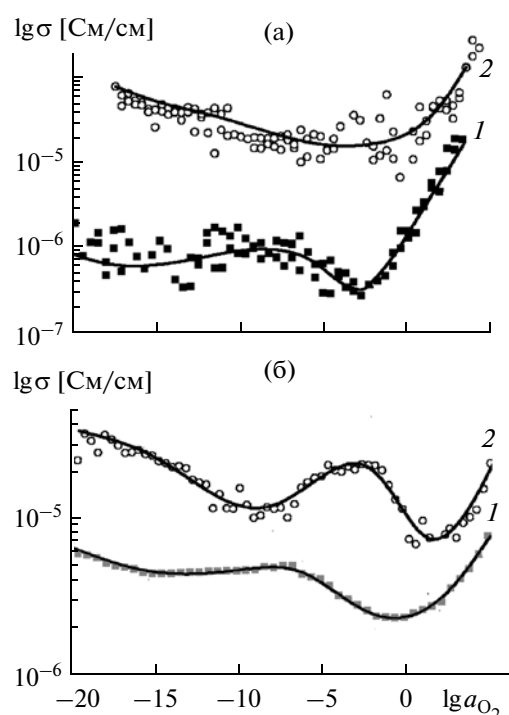


Рис. 6. Зависимости электронной проводимости керамики $(\text{ZrO}_2)_{0.90}(\text{Y}_2\text{O}_3)_{0.07}(\text{Fe}_2\text{O}_3)_{0.03}$ (а) и $(\text{ZrO}_2)_{0.90}(\text{Sc}_2\text{O}_3)_{0.07}(\text{Fe}_2\text{O}_3)_{0.03}$ (б), спеченной при 1650 К в течение 30 ч, от активности кислорода при 900 (1) и 1000 К (2).

p-типа проводимости вблизи Pt-микроконтакта как следствие восстановления кислородом ионов железа до Fe^{2+} .

Исходя из высоких значений ионной проводимости оксида циркония, стабилизированного сложными оксидами на основе скандия, и низкого вклада электронной проводимости в широком интервале изменения активности кислорода эти материалы могут удовлетворять требованиям к твердому электролиту среднетемпературных (850–1050 К) топливных элементов.

Известно, что в ионных проводниках сопротивление границ зерен выше сопротивления объема зерен. Как следствие, общая проводимость в ионных проводниках ниже проводимости объема зерен, поскольку часть проводимости теряется из-за высокого сопротивления границ зерен. В табл. 2 приведена величина общей проводимости в % по отношению к проводимости объема зерен.

Наиболее значительные потери проводимости наблюдаются в образцах $(\text{ZrO}_2)_{0.9}(\text{Y}_2\text{O}_3)_{0.1}$, где общая проводимость составляет 60% от проводимости объема зерен в широком температурном интервале.

Частичное замещение ионов иттрия на ионы церия или железа существенно увеличивает долю общей проводимости по отношению к проводимости объема зерен. Особенно это заметно в случае частичного замещения ионов иттрия на ионы железа. Это указывает на то, что сопротивление границ зерен в этом случае становится близким к сопротивлению объема зерен.

При частичном замещении ионов иттрия на ионы железа также значительно понижается проводимость объема зерен ($\approx 80\%$) в широком температурном интервале [21]. В случае частичного замещения ионов иттрия на ионы церия проводимость объема зерен также понижается. Особенно это заметно при высоких температурах: при 1070 К проводимость объема зерен понизилась на $\approx 38\%$ [25].

Сравнительный анализ свойств образцов $(\text{ZrO}_2)_{0.9}(\text{Y}_2\text{O}_3)_{0.07}(\text{Fe}_2\text{O}_3)_{0.03}$ и $(\text{ZrO}_2)_{0.9}(\text{Sc}_2\text{O}_3)_{0.07}(\text{Fe}_2\text{O}_3)_{0.03}$ (табл. 2) показывает, что проводимость объема зерен и общая проводимость Sc-содержащего образца больше на $\approx 85\%$ по сравнению с Y-содержащим образцом. При этом доля общей проводимости по отношению к проводимости объема зерен также незначительно больше.

При сравнении свойств образцов $(\text{ZrO}_2)_{0.8}(\text{Y}_2\text{O}_3)_{0.14}(\text{Ce}_2\text{O}_3)_{0.06}$ и

Таблица 2. Отношение общей проводимости к проводимости объема зерен

Химический состав	$\sigma_{\text{общ}}/\sigma_{\text{зер}}, \%$			
	770 К	870 К	970 К	1070 К
$(\text{ZrO}_2)_{0.9}(\text{Y}_2\text{O}_3)_{0.1}$	60	61	60	60
$(\text{ZrO}_2)_{0.9}(\text{Y}_2\text{O}_3)_{0.07}(\text{Fe}_2\text{O}_3)_{0.03}$	82	81	83	82
$(\text{ZrO}_2)_{0.8}(\text{Y}_2\text{O}_3)_{0.14}(\text{Ce}_2\text{O}_3)_{0.06}$	79	78	76	78
$(\text{ZrO}_2)_{0.9}(\text{Sc}_2\text{O}_3)_{0.07}(\text{Fe}_2\text{O}_3)_{0.03}$	87	87	85	87
$(\text{ZrO}_2)_{0.8}(\text{Sc}_2\text{O}_3)_{0.14}(\text{Ce}_2\text{O}_3)_{0.06}$	78	74	78	74

$(\text{ZrO}_2)_{0.80}(\text{Sc}_2\text{O}_3)_{0.14}(\text{Ce}_2\text{O}_3)_{0.06}$ можно отметить, что в Sc-содержащем образце больше проводимость как объема зерен, так и общая. Наблюданное увеличение проводимости в Sc-содержащем образце по сравнению с Y-содержащим зависит от температуры. При $\approx 500^\circ\text{C}$ наблюдается увеличение проводимости в два раза, в то время как при 800°C – в три раза. Увеличение общей проводимости в основном определяется увеличением проводимости объема зерен. В этих образцах общая проводимость составляет около 77–78% от проводимости объема зерен. Введение скандия ($R_{\text{Sc}^{3+}} = 0.87 \text{ \AA}$) приводит к увеличению кислородной проводимости по сравнению с образцом, содержащим иттрий ($R_{\text{Y}^{3+}} = 1.15 \text{ \AA}$), поскольку энталпия миграции ионов кислорода уменьшается, а энталпия ассоциаций кислородных вакансий увеличивается с уменьшением среднего ионного радиуса катионов [26, 27].

ЗАКЛЮЧЕНИЕ

Проведено изучение и сравнительный анализ структурных особенностей и ионной проводимости в области средних температур (600 – 750°C) объема зерен и границ зерен оксида циркония, стабилизированного сложными оксидами на основе иттрия, скандия и железа. Показано, что при спекании в течение 3 ч в керамике $(\text{ZrO}_2)_{0.90}(\text{Sc}_2\text{O}_3)_{0.07}(\text{Fe}_2\text{O}_3)_{0.03}$ наблюдается гистерезис проводимости, который, вероятно, связан с незавершенностью процессов спекания (например, химической неоднородностью). При спекании в течение 30 ч подобный гистерезис отсутствует.

Установлено, что оксид циркония, стабилизированный комплексными добавками на основе оксидов иттрия и скандия, характеризуется низким значением электронной проводимости в широком интервале активности кислорода при высоких температурах. Полученные данные показывают возможность использования синтезированных материалов в качестве мембран в среднетемпературных керамических топливных элементах.

СПИСОК ЛИТЕРАТУРЫ

1. Kawamura K., Watanabe K., Hiramatsu T., Kaimai A., Nigara Y., Kawada T., Mizusaki J. Electrical Conductivities of CaO Doped ZrO_2 – CeO_2 Solid Solution System // Solid State Ionics. 2001. V. 144. Iss. 1–2. P. 11–18.
2. Lee J.H., Kim J., Kim S.W., Lee H.W., Song H.S. Characterization of the Electrical Properties of Y_2O_3 -Doped CeO_2 -Rich CeO_2 – ZrO_2 Solid Solutions // Solid State Ionics. 2004. V. 166. Iss. 1–2. P. 45–52.
3. Belous A.G., Kravchyk K.V., Pashkova E.V., Bohnke O., Galven C. Influence of the Chemical Composition on Structural Properties and Electrical Conductivity of Y – Ce – ZrO_2 // Chem. Mater. 2007. V. 19. P. 5179–5184.
4. Kobayashi K., Kuwajima H., Masaki T. Phase Change and Mechanical Properties of ZrO_2 – Y_2O_3 Solid Electrolyte after Ageing // Solid State Ionics. 1981. V. 3–4. P. 489–493.
5. Lange F.F., Dunlop G.L., Davis B.I. Degradation during Aging of Transformation-Toughened ZrO_2 – Y_2O_3 Materials at 250°C // J. Am. Ceram. Soc. 1986. V. 69. Iss. 3. P. 237–240.
6. Belous A.G., Pashkova E.V., Kravchyk K.V., Ivanitskii V.P., Vygodskiy O.I. Mössbauer and X-ray Diffraction Studies of Cubic Solid Solutions of the ZrO_2 – Y_2O_3 – Fe_2O_3 System // J. Phys. Chem. C. 2008. V. 112. P. 3914–3919.
7. Belous A.G., Pashkova E.V., Vygodskiy O.I., Ivanitskii A.P. Effect of Combined Doping (Y^{3+} + Fe^{3+}) on Structural Features of Nanodispersed Zirconium Oxide // J. Mater. Sci. 2005. V. 40. P. 5273–5280.
8. Badwal S.P.S., Ciacchi F.T., Milosevic D. Scandia-Zirconia Electrolytes for Intermediate Temperature Solid Oxide Fuel Cell Operation // Solid State Ionics. 2000. V. 136–137. P. 91–99.
9. Kosacki I., Anderson H.U., Mizutani Y., Ukai K. Non-stoichiometry and Electrical Transport in Sc-Doped Zirconia // Solid State Ionics. 2002. V. 152–153. P. 431–438.
10. Lange F.F., Dunlop G.L., Davis B.I. Degradation during Aging of Transformation-Toughened ZrO_2 – Y_2O_3 Materials at 250°C // J. Am. Ceram. Soc. 1986. V. 69. Iss. 3. P. 237–240.
11. Nomura K., Mizutani Y., Kawai M., Nakamura Y., Yamamoto O. Aging and Raman Scattering Study of Scandia and Yttria Doped Zirconia // Solid State Ionics. 2000. V. 132. № 3–4. P. 235–239.
12. Haering C., Roosen A., Schichl H., Schnöller M. Degradation of the Electrical Conductivity in Stabilized Zirconia System: Part II: Scandia-Stabilized Zirconia // Solid State Ionics. 2005. V. 176. № 3–4. P. 261–268.
13. Badwal S.P.S., Drennan J. Microstructure/Conductivity Relationship in Scandia-Zirconia System // Solid State Ionics. 1992. V. 53–56. P. 769–776.
14. Янчевский О.З., Пашкова Е.В., Иванецкий В.П., Белоус А.Г. Мессбауэровское и рентгеновское исследование кубических твердых растворов $(\text{ZrO}_2)_{0.90}(\text{Sc}_2\text{O}_3)_{0.10-x}(\text{Fe}_2\text{O}_3)_x$ // Неорганические материалы. 2012. V. 48. № 6. С. 700–705.
15. Preis W., Waldhäusl J., Egger A., Sitte W., Carvalho E.D., Irvine J.T.S. Electrical Properties of Bulk and Grain Boundaries of Scandia-Stabilized Zirconia Co-Doped with Yttria and Ceria // Solid State Ionics. 2011. V. 192. № 1. P. 148–152.
16. Yamamoto O. Solid Oxide Fuel Cells: Fundamental Aspects and Prospects // Electrochim. Acta. 2000. V. 45. P. 2423–2435.
17. Certificate of Analysis: Standard Reference Material 1976, Instrument Sensitivity for X-ray Powder Diffraction. Gaithersburg: Natl. Inst. of Standard and Technology, 1991. P. 1–4.

18. *Hebb M.H.* Electrical Conductivity of Silver Sulfide // *J. Chem. Phys.* 1952. V. 20. № 1. P. 185–190.
19. *Wagner J.B., Wagner C.* Electrical Conductivity Measurements on Cuprous Halides // *J. Chem. Phys.* 1957. V. 26. № 6. P. 1597–1600.
20. *Lübke S., Wiemhöfer H.D.* Electronic Conductivity of Gd-doped Ceria with Additional Pr-Doping // *Solid State Ionics*. 1999. V. 117. P. 229–243.
21. *Kravchyk K.V., Bohnke O., Gunes V., Belous A.G., Pashkova E.V., Lannic J.Le, Gouttefangeas F.* Ionic and Electronic Conductivity of 3 mol % Fe_2O_3 -Substituted Cubic Y-Stabilized ZrO_2 // *Solid State Ionics*. 2012. V. 226. P. 53–58.
22. Impedance Spectroscopy. Theory, Experiment and Applications / Ed. Barsoukov E., J. Ross Macdonald. N.Y.: Wiley, 2005.
23. *Norberg S.T., Hull S., Ahmed I., Eriksson S.G., Marrocchelli D., Madden P.A., Li P., Irvine J.T.S.* Structural Disorder in Doped Zirconias, Part I: The $\text{Zr}_{0.8}\text{Sc}_{0.2-x}\text{Y}_x\text{O}_{1.9}$ ($0.0 \leq x \leq 0.2$) // *System Chem. Mater.* 2011. V. 23. № 6. P. 1356–1364.
24. *Kawada T., Mizusaki J.* Current Electrolytes and Catalysts // *Handbook of Fuel Cells-Fundamentals, Technology and Application* / Eds. Vielstich W. et al. V. 4: *Fuel Cell Technology and Applications*. Chichester: Wiley and Sons, 2003. P. 987.
25. *Белоус А.Г., Кравчик К.В., Янчевский О.З., Bohnke O., Вьюнов О.И., Gunes V.* Влияние Fe_2O_3 на структуру и свойства стабилизированного оксида циркония // Укр. хим. журн. 2012. Т. 78. № 11. С. 3–19.
26. *Arachi Y., Sakai H., Yamamoto O., Takeda Y., Imanishi N.* Electrical Conductivity of the $\text{ZrO}_2\text{--Ln}_2\text{O}_3$ (Ln = lanthanides) System // *Solid State Ionics*. 1999. V. 121. P. 133–139.
27. *Abbas H.A., Argiris C., Kilo M., Wiemhöfer H.-D., Hammad F.F., Hanafi Z.M.* Preparation and Conductivity of Ternary Scandia-Stabilised Zirconia // *Solid State Ionics*. 2011. V. 184. P. 6–9.